



INSTITUT POLYTECHNIQUE DE PARIS  
ENSTA PARIS

---

# CSC\_5RO16\_TA, Planification et Contrôle

TP3, Contrôle PID

---

by  
Guilherme NUNES TROFINO

supervised by  
Julien ALEXANDRE DIT SANDRETTO  
David FILLIAT

**Confidentiality Notice**  
Non-confidential and publishable report

ROBOTIQUE  
SCIENCES ET TECHNOLOGIES DE L'INFORMATION ET COMMUNICATION

---

Paris, FR  
15 janvier 2025

# Table des matières

---

<b>1</b>	<b>Méthodologie</b>	<b>2</b>
1.1	Exploration . . . . .	2
1.1.1	Algorithme <b>Control</b> . . . . .	2
1.1.2	Algorithme <b>Benchmark</b> . . . . .	2
1.1.3	Algorithme <b>Explore</b> . . . . .	2
1.2	Analyse . . . . .	3
<b>2</b>	<b>Question 1 - Unicycle, Contrôle Proportionnel Position</b>	<b>4</b>
2.1	Description . . . . .	4
2.2	Algorithme . . . . .	4
2.3	Résultats . . . . .	4
<b>3</b>	<b>Question 2 - Bicyclette, Contrôle Proportionnel Point</b>	<b>5</b>
3.1	Description . . . . .	5
3.2	Algorithme . . . . .	5
3.3	Résultats . . . . .	5
<b>4</b>	<b>Question 3 - Bicyclette, Contrôle Proportionnel Position</b>	<b>6</b>
4.1	Description . . . . .	6
4.2	Algorithme . . . . .	6
4.3	Résultats . . . . .	6
<b>5</b>	<b>Question 4 - Bicyclette, Contrôle Proportionnel Chemin</b>	<b>7</b>
5.1	Description . . . . .	7
5.2	Algorithme . . . . .	7
5.3	Résultats . . . . .	8

# 1. Méthodologie

Dans ce Travaux Pratique, la composante proportionnelle du contrôle PID sera étudiée en détails, appliquée aux modèles de robots unicycle et bicyclette. Afin de déterminer les constantes nécessaires pour chaque algorithme, des essais statistiques ont été réalisés afin d'identifier des valeurs appropriées pour ces constantes.

## 1.1. Exploration

Dans un premier temps, les scripts fournis ont été modifiés afin de pouvoir être utilisés en boucle, permettant ainsi de tester plusieurs combinaisons de variables.

### 1.1.1. Algorithme Control

L'algorithme de contrôle a également été ajusté pour accepter toutes les constantes nécessaires à son fonctionnement, comme illustré ci-dessous :

```
1 function [ u ] = UnicycleToPoseControl( xTrue, xGoal, alpha_maximum, K_rho, K_alpha, K_beta )
```

Listing 1 : UnicycleToPoseControl.m algorithme

**Remarque.** Aucune autre changement n'a été apporté au code.

### 1.1.2. Algorithme Benchmark

L'algorithme de benchmark a été modifié pour recevoir toutes les constantes nécessaires au fonctionnement de l'algorithme de contrôle et retournait les performances mesurées des exécutions, comme illustré ci-dessous :

```
1 function [ mean_performance ] = UnicycleToPoseBenchmark( alpha_maximum, K_rho, K_alpha, K_beta )
```

Listing 2 : UnicycleToPoseBenchmark.m algorithme

**Remarque.** Aucune autre changement n'a été apporté au code.

### 1.1.3. Algorithme Explore

Après ces modifications, un nouveau fichier a été créé pour exécuter plusieurs essais avec l'algorithme, comme montré ci-dessous :

```
1 function UnicycleExplore
2     for alpha_maximum = pi/4 : pi/4 : pi
3         for K_rho = 5 : 10 : 25
4             for K_alpha = 5 : 10 : 25
5                 for K_beta = 5 : 10 : 25
6                     mean_performance = UnicycleToPoseBenchmark(...
7                         alpha_maximum,...
8                         K_rho,...
9                         K_alpha,...
10                        K_beta...
11                    );
12                    disp([...
13                        num2str(alpha_maximum), ',',...
14                        num2str(K_rho), ',',...
15                        num2str(K_alpha), ',',...
16                        num2str(K_beta), ',',...
17                        num2str(mean_performance)...
18                    ]);
19                endfor
20            endfor
21        endfor
22    endfor
23 end;
```

Listing 3 : UnicycleExplore.m algorithme

Les résultats de chaque exécution ont été affichés dans le terminal au format CSV afin de faciliter leur analyse.

## 1.2. Analyse

Une fois l'exécution terminée, les résultats ont été sauvegardés au format CSV et analysés. Si un résultat satisfaisant était trouvé, il était retenu comme solution. Sinon, de nouvelles itérations étaient réalisées pour tenter d'identifier des valeurs appropriées.

Les intervalles d'analyse ont commencé de manière restreinte, puis ont été élargis progressivement.

**Remarque.** Les fonctions de l'unicycle sont présentées ici comme exemple, mais le processus appliqué est identique pour les autres modèles.

## 2. Question 1 - Unicycle, Contrôle Proportionnel Position

### 2.1. Description

Pour cette question, un contrôleur **proportionnel** a été implémenté pour un unicycle : pour la position et l'orientation. Ce contrôleur suit les équations présentées ci-dessous :

#### 1. Position :

$$v = \begin{cases} K_\rho \times \underbrace{\sqrt{(x_G - x)^2 + (y_G - y)^2}}_{\rho}, & \text{if } |\alpha| \leq \alpha_{\max} \\ 0, & \text{if } |\alpha| > \alpha_{\max} \end{cases} \quad (2.1)$$

#### 2. Orientation :

$$\omega = \begin{cases} K_\alpha \times \underbrace{\left( \arctan\left(\frac{y_G - y}{x_G - x}\right) - \theta \right)}_{\alpha}, & \text{if } \rho > 0.05 \\ K_\beta \times \underbrace{(\theta_G - \theta)}_{\beta}, & \text{if } \rho \leq 0.05 \end{cases} \quad (2.2)$$

### 2.2. Algorithme

Ensuite, l'algorithme suivant a été implémenté pour intégrer ces contrôleurs :

```

1 function [ u ] = UnicycleToPoseControl( xTrue, xGoal, alpha_maximum, K_rho, K_alpha, K_beta )
2 %Computes a control to reach a pose for unicycle
3 % xTrue is the robot current pose : [ x y theta ]'
4 % xGoal is the goal point
5 % u is the control : [v omega]'
6
7 x = xTrue(1);
8 y = xTrue(2);
9 theta = xTrue(3);
10
11 x_delta = xGoal(1) - x;
12 y_delta = xGoal(2) - y;
13
14 rho = sqrt( (x_delta)^2 + (y_delta)^2 );
15 alpha = AngleWrap( atan2(y_delta, x_delta) - theta );
16
17 v = K_rho * rho;
18
19 if abs(alpha) > alpha_maximum
20     v = 0;
21 endif
22
23 if rho > 0.05
24     omega = K_alpha * alpha;
25 else
26     omega = K_beta * AngleWrap( xGoal(3) - theta );
27 endif
28
29 u = [v, omega];
30 end

```

Listing 4 : UnicycleToPoseControl.m

### 2.3. Résultats

Après une série d'essais statistiques, les meilleures performances observées étaient de **1936.1429**, obtenues avec les paramètres suivants : `alpha_maximum = 0.7854`, `K_rho = 15`, `K_alpha = 5` et `K_beta = 25`.

Ces valeurs optimisées ont permis d'atteindre un compromis efficace entre précision et rapidité du contrôle.

### 3. Question 2 - Bicyclette, Contrôle Proportionnel Point

#### 3.1. Description

Pour cette question, un contrôleur **proportionnels** a été implémenté pour un bicycle : pour la position. Ce contrôleur suit les équations présentées ci-dessous :

1. **Position :**

$$v = K_\rho \times \underbrace{\sqrt{(x_G - x)^2 + (y_G - y)^2}}_\rho \quad (3.1)$$

2. **Orientation :**

$$\phi = K_\alpha \times \underbrace{\left( \arctan\left(\frac{y_G - y}{x_G - x}\right) - \theta \right)}_\alpha \quad (3.2)$$

#### 3.2. Algorithme

Ensuite l'algorithme suivant a été implémenté pour intégrer ce contrôleur :

```

1 function [ u ] = BicycleToPointControl( xTrue, xGoal, K_rho, K_alpha )
2   %Computes a control to reach a pose for bicycle
3   %   xTrue is the robot current pose : [ x y theta ]'
4   %   xGoal is the goal point
5   %   u is the control : [v phi]'
6
7   x = xTrue(1);
8   y = xTrue(2);
9   theta = xTrue(3);
10
11   x_delta = xGoal(1) - x;
12   y_delta = xGoal(2) - y;
13
14   rho = sqrt( (x_delta)^2 + (y_delta)^2 );
15   alpha = AngleWrap( atan2(y_delta, x_delta) - theta );
16
17   v = K_rho * rho;
18   phi = K_alpha * alpha;
19
20   u = [v, phi];
21 end

```

Listing 5 : BicycleToPointControl.m

#### 3.3. Résultats

Après une série d'essais statistiques, les meilleures performances observées étaient **1349.619**, obtenues avec les paramètres suivants :  $K_\rho = 25$  et  $K_\alpha = 5$ .

Ces valeurs optimisées ont permis d'atteindre un compromis efficace entre précision et rapidité du contrôle.

## 4. Question 3 - Bicyclette, Contrôle Proportionnel Position

### 4.1. Description

Pour cette question, un contrôleur **proportionnel** a été implémenté pour un bicycle : pour la position et l'orientation. Ces contrôleur suit les équations présentées ci-dessous :

1. **Position :**

$$v = K_{\rho} \times \underbrace{\sqrt{(x_G - x)^2 + (y_G - y)^2}}_{\rho} \quad (4.1)$$

2. **Orientation :**

$$\phi = K_{\alpha} \times \underbrace{\left( \arctan\left(\frac{y_G - y}{x_G - x}\right) - \theta \right)}_{\alpha} + K_{\beta} \times \underbrace{\theta_G - \left( \arctan\left(\frac{y_G - y}{x_G - x}\right) \right)}_{\beta < 0} \quad (4.2)$$

### 4.2. Algorithme

Ensuite, l'algorithme suivant a été implémenté pour intégrer ces contrôleurs :

```

1 function [ u ] = BicycleToPoseControl( xTrue, xGoal, K_rho, K_alpha, K_beta )
2     %Computes a control to reach a pose for bicycle
3     % xTrue is the robot current pose : [ x y theta ]'
4     % xGoal is the goal point
5     % u is the control : [v phi]'
6
7     x = xTrue(1);
8     y = xTrue(2);
9     theta = xTrue(3);
10
11     x_delta = xGoal(1) - x;
12     y_delta = xGoal(2) - y;
13
14     rho = sqrt( (x_delta)^2 + (y_delta)^2 );
15     alpha = AngleWrap( atan2(y_delta, x_delta) - theta );
16     beta = AngleWrap( xGoal(3) - atan2(y_delta, x_delta) );
17
18     v = K_rho * rho;
19     phi = K_alpha * alpha + K_beta * beta;
20
21     u = [v, phi];
22 end

```

Listing 6 : BicycleToPoseControl.m

### 4.3. Résultats

Après une série d'essais statistiques, les meilleures performances observées étaient de **1735.8571**, obtenues avec les paramètres suivants :  $K_{\rho} = 25$ ,  $K_{\alpha} = 5$  et  $K_{\beta} = -3$ .

Ces valeurs optimisées ont permis d'atteindre un compromis efficace entre précision et rapidité du contrôle.

## 5. Question 4 - Bicyclette, Contrôle Proportionnel Chemin

### 5.1. Description

Pour cette question, un contrôleur **proportionnel** a été implémenté pour un bicycle : pour la position. Ces contrôleur suit les équations présentées ci-dessous :

1. **Position :**

$$v = K_\rho \times \underbrace{\sqrt{(x_G - x)^2 + (y_G - y)^2}}_\rho \quad (5.1)$$

2. **Orientation :**

$$\phi = K_\alpha \times \underbrace{\left( \arctan\left(\frac{y_G - y}{x_G - x}\right) - \theta \right)}_\alpha \quad (5.2)$$

### 5.2. Algorithme

Ensuite, l'algorithme suivant a été implémenté pour intégrer ces contrôleurs :

```

1 function [ u ] = BicycleToPathControl( xTrue, Path, K_rho, K_alpha, rho_threshold )
2 %Computes a control to follow a path for bicycle
3 % xTrue is the robot current pose : [ x y theta ]'
4 % Path is set of points defining the path : [ x1 x2 ... ;
5 %                                           y1 y2 ...]
6 % u is the control : [v phi]'
7
8 x = xTrue(1);
9 y = xTrue(2);
10 theta = xTrue(3);
11
12 % initialize persistent
13 persistent CURRENT_VERTEX;
14 persistent CURRENT_POINT;
15 persistent PATH_POINTS;
16
17 if isempty(CURRENT_VERTEX)
18     CURRENT_VERTEX = 1;
19 endif
20
21 if CURRENT_VERTEX == size(Path, 2) || isempty(PATH_POINTS)
22     CURRENT_VERTEX = 1;
23
24     x_points = linspace(Path(1, CURRENT_VERTEX), Path(1, CURRENT_VERTEX + 1), 20);
25     y_points = linspace(Path(2, CURRENT_VERTEX), Path(2, CURRENT_VERTEX + 1), 20);
26
27     PATH_POINTS = [[ x_points; y_points ]];
28 endif
29
30 if isempty(CURRENT_POINT)
31     CURRENT_POINT = 1;
32 endif
33
34 % update target points
35 if CURRENT_POINT <= size(PATH_POINTS, 2)
36     current_target = PATH_POINTS(:, CURRENT_POINT);
37     x_g = current_target(1);
38     y_g = current_target(2);
39
40     % reached current target?
41     if sqrt((x - x_g)^2 + (y - y_g)^2) < rho_threshold
42         CURRENT_POINT = CURRENT_POINT + 1;
43     endif
44 else
45     if (CURRENT_VERTEX + 1) == size(Path, 2)
46         x_g = Path(1, end);
47         y_g = Path(2, end);
48     else
49         CURRENT_POINT = 1;
50         CURRENT_VERTEX = CURRENT_VERTEX + 1;
51
52         x_points = linspace(Path(1, CURRENT_VERTEX), Path(1, CURRENT_VERTEX + 1), 20);

```



```

53     y_points = linspace(Path(2, CURRENT_VERTICE), Path(2, CURRENT_VERTICE + 1), 20);
54
55     PATH_POINTS = [[ x_points; y_points ]];
56
57     current_target = PATH_POINTS(:, CURRENT_POINT);
58
59     x_g = current_target(1);
60     y_g = current_target(2);
61
62     endif
63
64     % command
65     rho = sqrt((y_g - y)^2 + (x_g - x)^2);
66     alpha = AngleWrap( atan2(y_g - y, x_g - x) - theta );
67
68     v = K_rho * rho;
69     phi = K_alpha * alpha;
70
71     u = [ v phi ];
72 end

```

Listing 7 : BicycleToPathControl.m

### 5.3. Résultats

Après une série d'essais statistiques, les meilleures performances observées étaient de **398.9695**, obtenues avec les paramètres suivants :  $\rho_{\text{threshold}} = 0.3$ ,  $K_{\rho} = 6$  et  $K_{\alpha} = 6$ . Le chemin est montré ci-dessous :

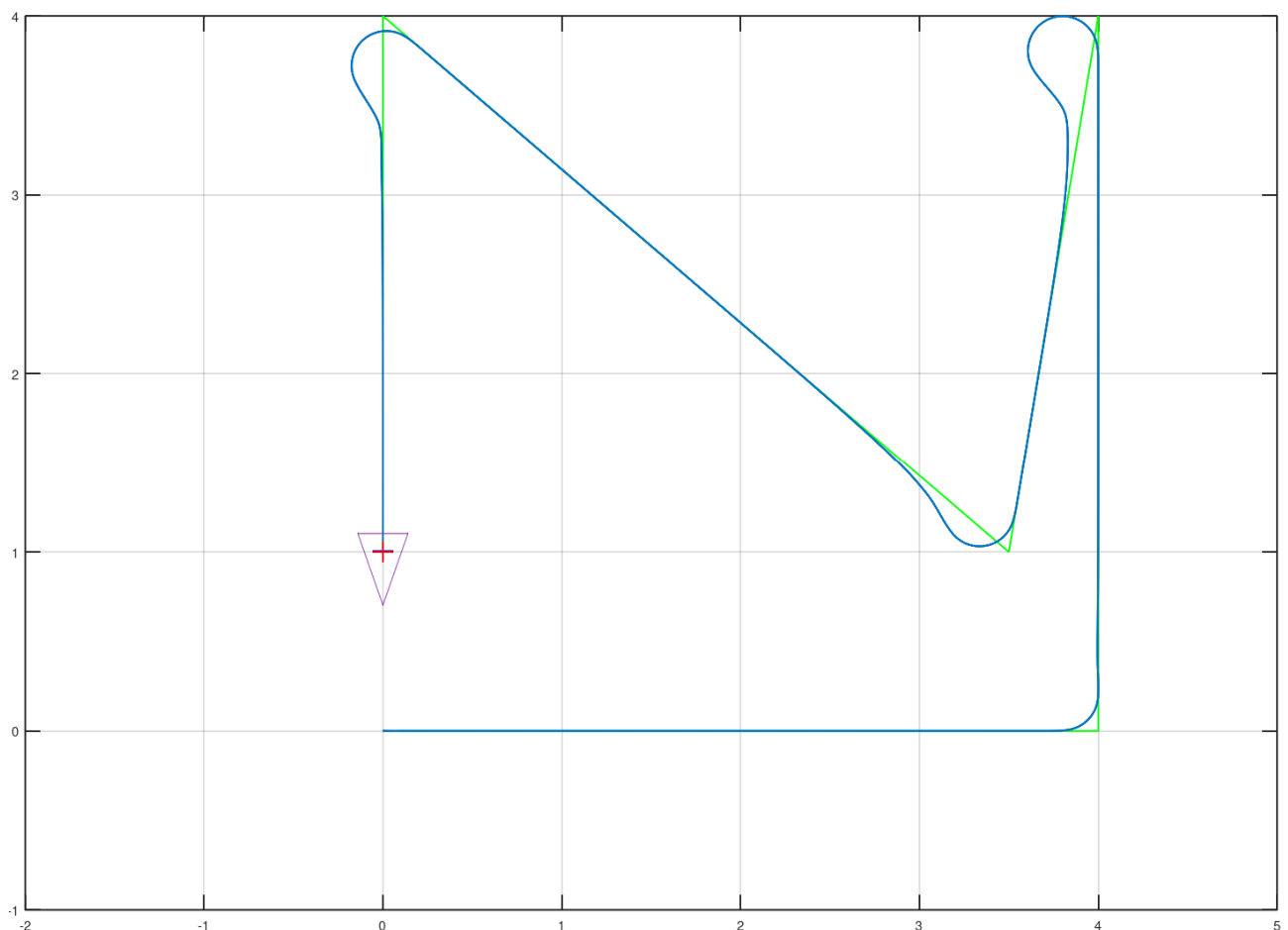


FIGURE 5.1 : Chemin Finale

Ces valeurs optimisées ont permis d'atteindre un compromis efficace entre précision et rapidité du contrôle.